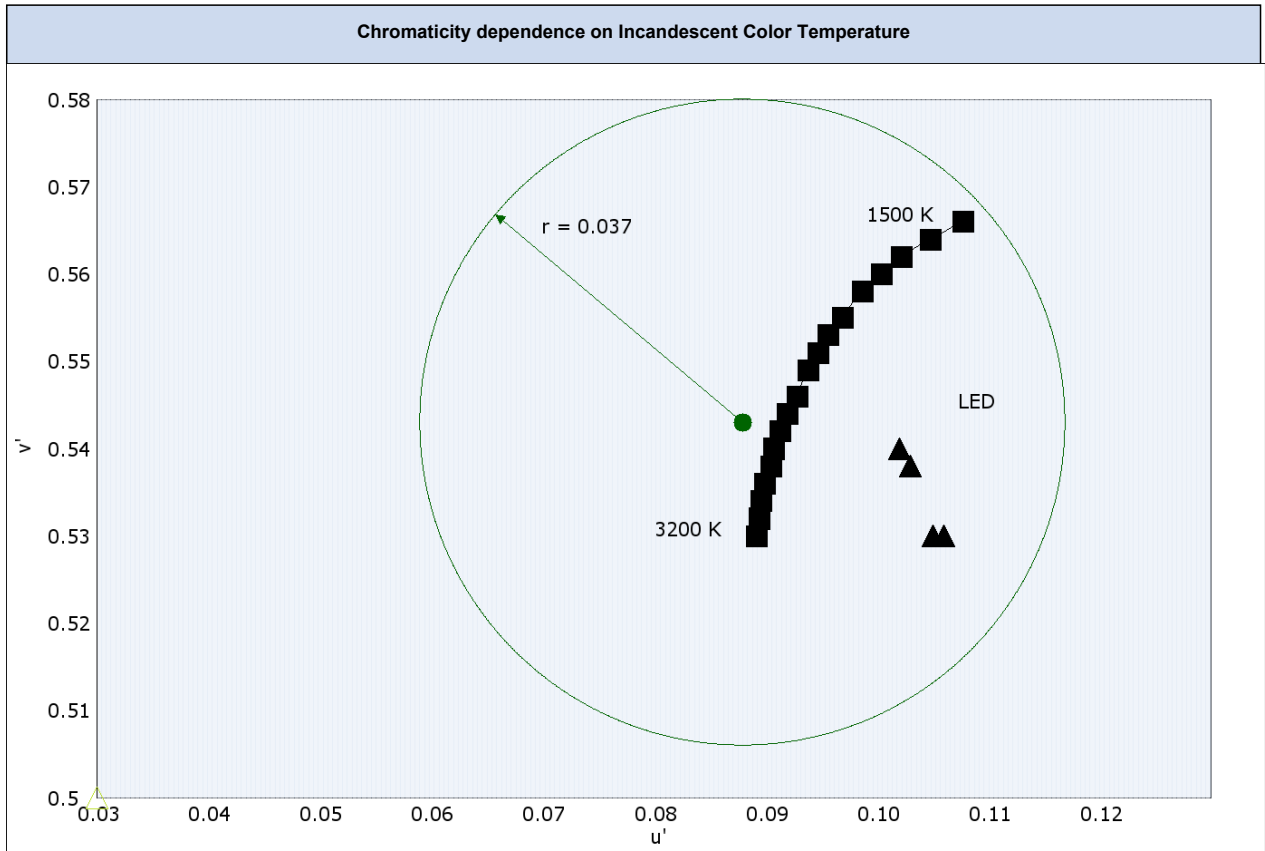


Internal transmittance τ_i at reference thickness $d = 2$ mm
The internal transmittance values, tabulated and graphically represented, are reference values only

λ [nm]	τ_i	λ [nm]	τ_i	λ [nm]	τ_i	λ [nm]	τ_i	λ [nm]	τ_i	λ [nm]	τ_i
200	$< 10^{-5}$	500	0.448	800	$< 10^{-5}$	1100	$< 10^{-5}$	2200	0.345	3700	$5.8 \cdot 10^{-2}$
210	$< 10^{-5}$	510	0.505	810	$< 10^{-5}$	1110	$< 10^{-5}$	2250	0.387	3750	$5.5 \cdot 10^{-2}$
220	$< 10^{-5}$	520	0.531	820	$< 10^{-5}$	1120	$< 10^{-5}$	2300	0.429	3800	$4.4 \cdot 10^{-2}$
230	$< 10^{-5}$	530	0.512	830	$< 10^{-5}$	1130	$< 10^{-5}$	2350	0.469	3850	$3.1 \cdot 10^{-2}$
240	$< 10^{-5}$	540	0.443	840	$< 10^{-5}$	1140	$< 10^{-5}$	2400	0.506	3900	$1.9 \cdot 10^{-2}$
250	$< 10^{-5}$	550	0.337	850	$< 10^{-5}$	1150	$< 10^{-5}$	2450	0.538	3950	$9.3 \cdot 10^{-3}$
260	$< 10^{-5}$	560	0.220	860	$< 10^{-5}$	1160	$< 10^{-5}$	2500	0.562	4000	$3.7 \cdot 10^{-3}$
270	$< 10^{-5}$	570	0.120	870	$< 10^{-5}$	1170	$< 10^{-5}$	2550	0.577	4050	$1.3 \cdot 10^{-3}$
280	$< 10^{-5}$	580	$5.3 \cdot 10^{-2}$	880	$< 10^{-5}$	1180	$< 10^{-5}$	2600	0.590	4100	$4.6 \cdot 10^{-4}$
290	$< 10^{-5}$	590	$1.7 \cdot 10^{-2}$	890	$< 10^{-5}$	1190	$< 10^{-5}$	2650	0.602	4150	$1.8 \cdot 10^{-4}$
300	$< 10^{-5}$	600	$4.7 \cdot 10^{-3}$	900	$< 10^{-5}$	1200	$< 10^{-5}$	2700	0.606	4200	$8.4 \cdot 10^{-5}$
310	$< 10^{-5}$	610	$9.9 \cdot 10^{-4}$	910	$< 10^{-5}$	1250	$< 10^{-5}$	2750	0.571	4250	$5.4 \cdot 10^{-5}$
320	$< 10^{-5}$	620	$1.6 \cdot 10^{-4}$	920	$< 10^{-5}$	1300	$< 10^{-5}$	2800	0.374	4300	$4.8 \cdot 10^{-5}$
330	$< 10^{-5}$	630	$2.1 \cdot 10^{-5}$	930	$< 10^{-5}$	1350	$< 10^{-5}$	2850	0.213	4350	$5.8 \cdot 10^{-5}$
340	$< 10^{-5}$	640	$< 10^{-5}$	940	$< 10^{-5}$	1400	$< 10^{-5}$	2900	0.142	4400	$7.8 \cdot 10^{-5}$
350	$< 10^{-5}$	650	$< 10^{-5}$	950	$< 10^{-5}$	1450	$< 10^{-5}$	2950	0.107	4450	$1.0 \cdot 10^{-4}$
360	$5.7 \cdot 10^{-4}$	660	$< 10^{-5}$	960	$< 10^{-5}$	1500	$2.4 \cdot 10^{-5}$	3000	$8.6 \cdot 10^{-2}$	4500	$1.4 \cdot 10^{-4}$
370	$5.2 \cdot 10^{-3}$	670	$< 10^{-5}$	970	$< 10^{-5}$	1550	$1.6 \cdot 10^{-4}$	3050	$7.1 \cdot 10^{-2}$	4550	$2.0 \cdot 10^{-4}$
380	$1.8 \cdot 10^{-2}$	680	$< 10^{-5}$	980	$< 10^{-5}$	1600	$7.4 \cdot 10^{-4}$	3100	$5.9 \cdot 10^{-2}$	4600	$3.0 \cdot 10^{-4}$
390	$4.0 \cdot 10^{-2}$	690	$< 10^{-5}$	990	$< 10^{-5}$	1650	$2.5 \cdot 10^{-3}$	3150	$5.0 \cdot 10^{-2}$	4650	$5.2 \cdot 10^{-4}$
400	$6.5 \cdot 10^{-2}$	700	$< 10^{-5}$	1000	$< 10^{-5}$	1700	$6.9 \cdot 10^{-3}$	3200	$4.4 \cdot 10^{-2}$	4700	$9.0 \cdot 10^{-4}$
410	$9.6 \cdot 10^{-2}$	710	$< 10^{-5}$	1010	$< 10^{-5}$	1750	$1.6 \cdot 10^{-2}$	3250	$3.9 \cdot 10^{-2}$	4750	$1.4 \cdot 10^{-3}$
420	0.120	720	$< 10^{-5}$	1020	$< 10^{-5}$	1800	$3.1 \cdot 10^{-2}$	3300	$3.7 \cdot 10^{-2}$	4800	$2.0 \cdot 10^{-3}$
430	0.141	730	$< 10^{-5}$	1030	$< 10^{-5}$	1850	$5.3 \cdot 10^{-2}$	3350	$3.6 \cdot 10^{-2}$	4850	$2.6 \cdot 10^{-3}$
440	0.163	740	$< 10^{-5}$	1040	$< 10^{-5}$	1900	$8.3 \cdot 10^{-2}$	3400	$3.6 \cdot 10^{-2}$	4900	$3.0 \cdot 10^{-3}$
450	0.188	750	$< 10^{-5}$	1050	$< 10^{-5}$	1950	0.120	3450	$3.7 \cdot 10^{-2}$	4950	$3.0 \cdot 10^{-3}$
460	0.221	760	$< 10^{-5}$	1060	$< 10^{-5}$	2000	0.162	3500	$4.0 \cdot 10^{-2}$	5000	$2.5 \cdot 10^{-3}$
470	0.262	770	$< 10^{-5}$	1070	$< 10^{-5}$	2050	0.207	3550	$4.4 \cdot 10^{-2}$	5050	$1.8 \cdot 10^{-3}$
480	0.316	780	$< 10^{-5}$	1080	$< 10^{-5}$	2100	0.255	3600	$4.9 \cdot 10^{-2}$	5100	$1.0 \cdot 10^{-3}$
490	0.380	790	$< 10^{-5}$	1090	$< 10^{-5}$	2150	0.302	3650	$5.4 \cdot 10^{-2}$	5150	$4.6 \cdot 10^{-4}$



Chromaticity and NVIS Radiance at thickness d = 2 mm						
Planck [K]	u'	v'	x'	y'	Y	NRA
1500	0.108	0.566	0.270	0.631	9.5	6.1·10 ⁻¹¹
1600	0.105	0.564	0.262	0.627	10.4	5.8·10 ⁻¹¹
1700	0.102	0.562	0.254	0.621	11.2	5.6·10 ⁻¹¹
1800	0.100	0.560	0.248	0.615	11.9	5.4·10 ⁻¹¹
1900	0.099	0.558	0.242	0.608	12.6	5.2·10 ⁻¹¹
2000	0.097	0.555	0.236	0.601	13.3	5.1·10 ⁻¹¹
2100	0.096	0.553	0.231	0.594	13.9	5.0·10 ⁻¹¹
2200	0.095	0.551	0.227	0.587	14.5	4.9·10 ⁻¹¹
2300	0.094	0.549	0.223	0.580	15.0	4.8·10 ⁻¹¹
2400	0.093	0.546	0.219	0.573	15.5	4.7·10 ⁻¹¹
2500	0.092	0.544	0.215	0.566	15.9	4.7·10 ⁻¹¹
2600	0.091	0.542	0.212	0.559	16.3	4.6·10 ⁻¹¹
2700	0.091	0.540	0.209	0.553	16.7	4.6·10 ⁻¹¹
2800	0.090	0.538	0.207	0.547	17.1	4.5·10 ⁻¹¹
2900	0.090	0.536	0.204	0.540	17.4	4.5·10 ⁻¹¹
3000	0.090	0.534	0.202	0.535	17.8	4.4·10 ⁻¹¹
3100	0.089	0.532	0.200	0.529	18.1	4.4·10 ⁻¹¹
3200	0.089	0.530	0.198	0.523	18.4	4.4·10 ⁻¹¹
LED	u'	v'	x'	y'	Y	NRA
LUXEON rebel A2-RM-G	0.102	0.540	0.231	0.545	21.1	4.2·10 ⁻¹¹
LUXEON rebel T2-SO-L	0.106	0.530	0.229	0.511	20.9	4.2·10 ⁻¹¹
LUXEON rebel B5-R0-G	0.105	0.530	0.228	0.510	20.7	4.3·10 ⁻¹¹
LUXEON rebel Q1-RM-K	0.103	0.538	0.232	0.537	20.7	4.3·10 ⁻¹¹
other sources of illumination	A service for calculating chromaticity or NVIS radiance can be provided					

NVIS Green A

Chromaticity coordinates (as defined by MIL-STD-3009)

u' = 0.088

v' = 0.543

with radius of tolerance r = 0.037